

Размерное квантование в *n*-GaP

© В.Р. Расулов, Р.Я. Расулов, И.М. Эшболтаев, Р.Р. Султонов

Ферганский госуниверситет,
105100 Фергана, Республика Узбекистан

E-mail: r_rasulov51@mail.ru

Поступила в Редакцию 6 ноября 2019 г.

В окончательной редакции 11 ноября 2019 г.

Принята к публикации 11 ноября 2019 г.

Рассчитан размерно-квантованный энергетический спектр и волновая функция электронов в подзонах X_3 и X_1 зоны проводимости *n*-GaP.

Ключевые слова: волновой вектор, энергетический спектр, квантовая яма.

DOI: 10.21883/FTP.2020.04.49140.9306

В последнее время привлекают значительное внимание оптические переходы между уровнями в размерно-квантованной яме (РКЯ), которые находят применение в фотопреобразователях инфракрасного диапазона [1]. Для полупроводников с простой зоной расчет межуровневых переходов для РКЯ произвольного потенциала был проведен ранее в работах [2,3]. В то же время межуровневые оптические переходы в РКЯ дырочной проводимости представляют интерес из-за ненулевого поглощения для света произвольной поляризации, которое имеет практическое применение [4]. Теоретическое исследование такого рода задачи затруднено сложностью зонной структуры полупроводника. В частности, в [5–7] такая задача в случае прямоугольной РКЯ фиксированной толщины решена численно. Однако даже малая вариация толщины или глубины РКЯ может сильно изменить конечный результат, что затрудняет анализ промежуточных расчетов. В работе [8] на основе теории возмущения получены аналитические выражения для энергетического спектра и волновой функции дырок, а в [9] исследовано межподзонное поглощение поляризованного излучения в бесконечно глубокой квантовой яме полупроводника. Расчеты проведены в приближении Латтинжера–Кона [10,11] для полупроводников с решеткой цинковой обманки.

Однако теоретическое исследование размерного квантования в потенциальной яме, выращенной на основе полупроводника со сложной зоной, одна из подзон которой имеет „горбообразную“ форму (например, *n*-GaP или *p*-Te), остается открытым, чему посвящена настоящая работа.

Отметим, что исследование ряда явлений, в частности оптических или фотогальванических эффектов в РКЯ на основе полупроводника *n*-GaP, требует знания энергетического спектра и волновых функций носителей заряда.

Полупроводник *n*-GaP — многодолинный, экстремумы долин зоны проводимости расположены в точках X зоны Бриллюэна. Каждая долина зоны проводимости состоит из двух подзон, X_1 и X_3 , одна из которых имеет „горбообразную“ структур. Энергетический спектр электронов в этих подзонах определяется эффективным

гамильтонианом [11]

$$\mathcal{H}(k) = \begin{bmatrix} A_3 k_z^2 + B_3 k_\perp^2 + \Delta/2; & -iPk_z + D'k_y k_x \\ iPk_z + D'k_x k_y; & A_1 k_z^2 + B_1 k_\perp^2 - \Delta/2 \end{bmatrix}, \quad (1)$$

где $k_\perp^2 = k_x^2 + k_y^2$, $A_{1,3}$, $B_{1,3}$, D' , P — зонные параметры полупроводника, $\Delta = E_3(0) - E_1(0)$ — энергетический зазор между подзонами X_3 и X_1 в точке $X(k_x = 0)$. В рамках двухзонной модели $A_3 \approx A_1 = A$, $B_3 \approx B_1 = B$. Тогда (1) преобразуется к виду

$$\hat{\mathcal{H}}(k) = \lambda_1 \cdot \hat{1} + (\Delta/2)\hat{\sigma}_z + D'k_x k_y \hat{\sigma}_x + Pk_z \hat{\sigma}_y, \quad (2)$$

где $\hat{1}$ — единичная матрица, $\lambda_1 = Ak_z^2 + Bk_\perp^2$.

На основе (2) для квантовой ямы с потенциалом $U(z)$ эффективный гамильтониан электронов в *n*-GaP можно представить в виде

$$\hat{H} = \hat{H}_0 + \hat{R}_2 k_\perp^2, \quad (3)$$

где

$$\hat{H}_0 = \frac{\Delta}{2} \begin{bmatrix} 1 & 0 \\ 0 & -1 \end{bmatrix} - \begin{bmatrix} A_3 & 0 \\ 0 & A_1 \end{bmatrix} \frac{\partial^2}{\partial z^2} + P \begin{bmatrix} 0 & -i \\ i & 0 \end{bmatrix} \frac{\partial}{\partial z} + U(z), \quad (4)$$

$$\hat{R}_2 = \begin{bmatrix} B_3 & D \sin \varphi \cos \varphi \\ D \sin \varphi \cos \varphi & B_1 \end{bmatrix},$$

$A_{3,1}$, $B_{3,1}$, D , P — зонные параметры *n*-GaP, $k_\perp^2 = k_x^2 + k_y^2$, $k_\perp = (k_x, k_y)$ (или $k_x = k_\perp \cos \varphi$, $k_y = k_\perp \sin \varphi$) — двумерный волновой вектор, направленный по интерфейсу¹, $\mathbf{r}_\perp = (x, y)$, φ — угол между вектором \mathbf{k}_\perp и осью Ox (за ось квантования в нашем случае выбрана Oz). В дальнейшем считаем, что волновая функция электронов в плоскости РКЯ имеет вид $\Psi \propto \exp(i\mathbf{k}_\perp \mathbf{r}_\perp)$.

¹ Далее считаем, что зонные параметры не зависят от координаты.

Невозмущенные уровни энергии, $E_e(0)$, и невозмущенная волновая функция электронов, $\psi_\xi^{(0)} = \begin{bmatrix} \psi_3^{(0)} \\ \psi_1^{(0)} \end{bmatrix}$, в подзонах зоны проводимости X_ξ ($\xi = 3, 1$) в n -GaP определяются из следующего уравнения Шредингера: $\widehat{H}_0 \widehat{\psi}_\xi^{(0)} = E_\xi \widehat{\psi}_\xi^{(0)}$, где $\widehat{E}_\xi = \begin{bmatrix} \tilde{E}_3 & 0 \\ 0 & \tilde{E}_1 \end{bmatrix}$. Тогда имеем

$$\left\{ \frac{\Delta}{2} \begin{bmatrix} \psi_3^{(0)} \\ -\psi_1^{(0)} \end{bmatrix} - \frac{\partial^2}{\partial z^2} \begin{bmatrix} A_3 \psi_3^{(0)} \\ A_1 \psi_1^{(0)} \end{bmatrix} + P \frac{\partial}{\partial z} \begin{bmatrix} -\psi_1^{(0)} \\ \psi_3^{(0)} \end{bmatrix} + U(z) \begin{bmatrix} \psi_3^{(0)} \\ \psi_1^{(0)} \end{bmatrix} \right\} = \begin{bmatrix} \tilde{E}_3 \psi_3^{(0)} \\ \tilde{E}_1 \psi_1^{(0)} \end{bmatrix}, \quad (5)$$

где третье слагаемое описывает превращение электрона с массой $m_{1(3)}$ в электрон массой $m_{3(1)}$.

Из последнего уравнения видно, что имеются два случая.

Случай 1. В этом случае будем считать, что эффективные массы электронов обеих подзон одинаковы, т.е. $A_3 = A_1 = 1$, и тогда последнее уравнение будет иметь вид

$$\left\{ \frac{\Delta}{2} \begin{bmatrix} \psi_3^{(0)} \\ -\psi_1^{(0)} \end{bmatrix} - \frac{\partial^2}{\partial z^2} \begin{bmatrix} A \psi_3^{(0)} \\ A \psi_1^{(0)} \end{bmatrix} + P \frac{\partial}{\partial z} \begin{bmatrix} -\psi_1^{(0)} \\ \psi_3^{(0)} \end{bmatrix} + U(z) \begin{bmatrix} \psi_3^{(0)} \\ \psi_1^{(0)} \end{bmatrix} \right\} = \begin{bmatrix} \tilde{E}_3 \psi_3^{(0)} \\ \tilde{E}_1 \psi_1^{(0)} \end{bmatrix}. \quad (6)$$

Тогда имеем систему уравнений

$$\left\{ \begin{aligned} -\frac{\partial^2 \psi_3^{(0)}}{\partial z^2} - \frac{P}{A} \frac{\partial \psi_1^{(0)}}{\partial z} + \frac{1}{A} [U(z) - \tilde{E}_3] \psi_3^{(0)} + \frac{1}{A} \frac{\Delta}{2} \psi_3^{(0)} &= 0, \\ -\frac{\partial^2 \psi_1^{(0)}}{\partial z^2} + \frac{P}{A} \frac{\partial \psi_3^{(0)}}{\partial z} + \frac{1}{A} [U(z) - \tilde{E}_1] \psi_1^{(0)} - \frac{1}{A} \frac{\Delta}{2} \psi_1^{(0)} &= 0. \end{aligned} \right. \quad (7)$$

Далее вводим обозначение $\psi_3^{(0)} + i\psi_1^{(0)} = \xi^{(0)}$ и считаем, что $\tilde{E}_3 = \tilde{E}_1 = \tilde{E} = E(\mathbf{k}_\perp) - Bk_\perp^2$. Тогда получим уравнение для $\xi^{(0)}$

$$\frac{\partial^2 \xi_-}{\partial z^2} - i \frac{P}{A} \frac{\partial \xi_-}{\partial z} - \frac{1}{A} [U(z) - \tilde{E}] \xi_- + \frac{1}{A} \frac{\Delta}{2} \xi_+ = 0. \quad (8)$$

Если считаем, что $U(z) = U_0 = \text{const}$ и введем следующие обозначения $\kappa_A^2 = (1/A)(U_0 - \tilde{E})$, $\kappa_\Delta^2 = (1/A)(\Delta/2)$, $2\chi = P/A$, тогда

$$\frac{\partial^2 \xi_-}{\partial z^2} - 2i\chi \frac{\partial \xi_-}{\partial z} - \kappa_A^2 \xi_- + \kappa_\Delta^2 \xi_+ = 0. \quad (9)$$

Решение (9) $\xi_- = C \exp(\alpha z)$ упрощается, если считаем, что функция $\xi_-(z)$ — реальная величина, и характеристическое уравнение имеет корни

$$\alpha_\pm = i\chi \pm \sqrt{-\chi^2 + 4 \left(\kappa_A^2 - \kappa_\Delta^2 \frac{C^*}{C} \right)}. \quad (10)$$

Для упрощения решения задачи считаем, что $C = C^*$, C — реальная величина. Тогда

$$\alpha_\pm = i\chi \pm \sqrt{-\chi^2 + 4(\kappa_A^2 - \kappa_\Delta^2)} \quad (11)$$

и имеем

$$\xi_-(z) = \exp(i\chi z) \left\{ C_+ \exp \left[z \sqrt{-\chi^2 + 4(\kappa_A^2 - \kappa_\Delta^2)} \right] + C_- \exp \left[-z \sqrt{-\chi^2 + 4(\kappa_A^2 - \kappa_\Delta^2)} \right] \right\}. \quad (12)$$

Если $\kappa_A^2 < \kappa_\Delta^2$, тогда

$$\xi_-(z) = \exp(i\chi z) \left\{ C_1 \cos \left[z \sqrt{\chi^2 + 4(\kappa_\Delta^2 - \kappa_A^2)} \right] + iC_2 \sin \left[z \sqrt{\chi^2 + 4(\kappa_\Delta^2 - \kappa_A^2)} \right] \right\}. \quad (13)$$

Учтем граничные условия типа $\xi_\pm(z = -a/2) = 0$, $\xi_\pm(z = +a/2) = 0$, и если выполняется условие $\cos(a/2\chi) \pm i \sin(a/2\chi) \neq 0$, тогда связь между C_1 и C_2 определяется как $C_1 = \pm iC_2 \operatorname{tg} \left[a/2 \sqrt{\chi^2 + 4(\kappa_\Delta^2 - \kappa_A^2)} \right]$. В этом случае из условия нормировки следует

$$\begin{aligned} |C_1| &= \left| \sin \left[\frac{a}{2} \sqrt{\chi^2 + 4(\kappa_\Delta^2 - \kappa_A^2)} \right] \right|, \\ |C_2| &= \left| \cos \left[\frac{a}{2} \sqrt{\chi^2 + 4(\kappa_\Delta^2 - \kappa_A^2)} \right] \right|, \end{aligned} \quad (14)$$

а выражение для $\xi_-(z)$ имеет вид

$$\begin{aligned} \xi_-(z) = \exp(i\chi z) \left\{ \frac{1}{2} \left\{ \sin \left[\left(z + \frac{a}{2} \right) \sqrt{\chi^2 + 4(\kappa_\Delta^2 - \kappa_A^2)} \right] - \sin \left[\left(z - \frac{a}{2} \right) \sqrt{\chi^2 + 4(\kappa_\Delta^2 - \kappa_A^2)} \right] \right\} + \frac{1}{2} i \left\{ \sin \left[\left(z - \frac{a}{2} \right) \sqrt{\chi^2 + 4(\kappa_\Delta^2 - \kappa_A^2)} \right] + \sin \left[\left(z + \frac{a}{2} \right) \sqrt{\chi^2 + 4(\kappa_\Delta^2 - \kappa_A^2)} \right] \right\} \right\}. \end{aligned} \quad (15)$$

Отсюда волновые функции электронов определяются соотношениями

$$\psi_1 = \frac{1}{2} \left\{ [\cos(\chi z) - \sin(\chi z)] \sin \left[\left(z + \frac{a}{2} \right) \sqrt{\chi^2 + 4(\kappa_\Delta^2 - \kappa_A^2)} \right] - [\cos(\chi z) + \sin(\chi z)] \sin \left[\left(z - \frac{a}{2} \right) \sqrt{\chi^2 + 4(\kappa_\Delta^2 - \kappa_A^2)} \right] \right\}, \tag{16}$$

$$\psi_3 = -\frac{1}{2} \left\{ [\cos(\chi z) + \sin(\chi z)] \sin \left[\left(z + \frac{a}{2} \right) \sqrt{\chi^2 + 4(\kappa_\Delta^2 - \kappa_A^2)} \right] + [\cos(\chi z) - \sin(\chi z)] \sin \left[\left(z - \frac{a}{2} \right) \sqrt{\chi^2 + 4(\kappa_\Delta^2 - \kappa_A^2)} \right] \right\}. \tag{17}$$

При $\psi_3^{(0)}(z = \pm a/2) = 0$, $\psi_1^{(0)}(z = \pm a/2) = 0$ получим выражения для энергий размерно-квантованных состояний электронов в точке X зоны Бриллюэна, т.е. при $k_\perp = 0$

$$E = U_0 - \frac{\Delta}{2} - \frac{P^2}{16A} - A\pi^2 \frac{(2n+1)^2}{4} a^2,$$

$$E = U_0 - \frac{\Delta}{2} - \frac{P^2}{16A} - A\pi^2 n^2 a^2, \tag{18}$$

где первое соотношение соответствует четным по отношению к инверсии координат состояниям, а второе — к нечетным состояниям, n — целое число.

Отметим, что в случае, когда $4(\kappa_A^2 - \kappa_\Delta^2) - \chi^2 > 0$, волновую функцию можно представить как

$$\psi_3^{(0)}(z) = \exp(-z\chi) \left[\tilde{C}_1 \cos \left(z \sqrt{(\kappa_A^2 - \kappa_\Delta^2) - \chi^2} \right) + \tilde{C}_3 \sin \left(z \sqrt{4(\kappa_A^2 - \kappa_\Delta^2) - \chi^2} \right) \right]. \tag{19}$$

Из условия нормировки волновой функции нетрудно получить выражения для \tilde{C}_1 , \tilde{C}_3 в виде

$$C_1^{-2} = \frac{\text{sh}(a\chi)}{2\chi [\chi^2 + 4(\kappa_A^2 - \kappa_\Delta^2) - \chi^2]} \left\{ 4(\kappa_A^2 - \kappa_\Delta^2) + \chi^2 \cos \left(a \sqrt{4(\kappa_A^2 - \kappa_\Delta^2) - \chi^2} \right) + \chi \sqrt{4(\kappa_A^2 - \kappa_\Delta^2) - \chi^2} \sin \left(a \sqrt{4(\kappa_A^2 - \kappa_\Delta^2) - \chi^2} \right) \right\}, \tag{20}$$

$$C_3^{-2} = \frac{\text{sh}(a\chi)}{2\chi [\chi^2 + 4(\kappa_A^2 - \kappa_\Delta^2) - \chi^2]} \times \left\{ -4(\kappa_A^2 - \kappa_\Delta^2) + \chi^2 \cos \left(a \sqrt{4(\kappa_A^2 - \kappa_\Delta^2) - \chi^2} \right) + \chi \sqrt{4(\kappa_A^2 - \kappa_\Delta^2) - \chi^2} \sin \left[a \sqrt{4(\kappa_A^2 - \kappa_\Delta^2) - \chi^2} \right] \right\}. \tag{21}$$

Случай 2. Пусть $\sqrt{\chi^2 - 4(\kappa_A^2 + \kappa_\Delta^2)}$ — реальная величина. Тогда уравнение Шреденгера имеет вид

$$\begin{cases} \frac{\partial^2 \xi_1^{(0)}}{\partial z^2} + 2\chi \frac{\partial \xi_1^{(0)}}{\partial z} + (\kappa_A^2 - \kappa_\Delta^2) \xi_1^{(0)} = 0, \\ \frac{\partial^2 \xi_2^{(0)}}{\partial z^2} + 2\chi \frac{\partial \xi_2^{(0)}}{\partial z} + (\kappa_A^2 - \kappa_\Delta^2) \xi_2^{(0)} = 0, \end{cases} \tag{22}$$

и его решение представим в виде

$$\xi_1^{(0)} = \exp(-z\chi) \left\{ F_1 \exp \left[z \sqrt{\chi^2 - 4(\kappa_A^2 + \kappa_\Delta^2)} \right] + F_2 \exp \left[-z \sqrt{\chi^2 - 4(\kappa_A^2 + \kappa_\Delta^2)} \right] \right\}. \tag{23}$$

Из последнего следует: если $\chi^2 - 4\kappa_\xi^2 > 0$, т.е. $\kappa_A > \kappa_\Delta$, тогда (19) имеет вид

$$\xi_\xi^{(0)} = \exp(-z\chi) \left\{ F_1 \exp \left[z \sqrt{\chi^2 - 4\kappa_\xi^2} \right] + F_2 \exp \left[-z \sqrt{\chi^2 - 4\kappa_\xi^2} \right] \right\}, \tag{24}$$

где $\kappa_\xi^2 = \kappa_{A_\xi}^2 - (-1)^{(1+\xi)/2} \kappa_\Delta^2$. В этом случае плотность вероятности нахождения электронов экспоненциально падает.

Из граничного условия

$$\left. \frac{\partial}{\partial z} \xi_\xi^{(0)} \right|_{z=0} = 0$$

имеем

$$\xi_\xi^{(0)} = F_1 \exp(-z\chi) \left[\exp \left(z \sqrt{\chi^2 - 4\kappa_\xi^2} \right) - \exp \left(-z \sqrt{\chi^2 - 4\kappa_\xi^2} \right) \right]; \tag{25}$$

условие

$$\left. \frac{\partial}{\partial z} \xi_l^{(0)} \right|_{z=a} = 0$$

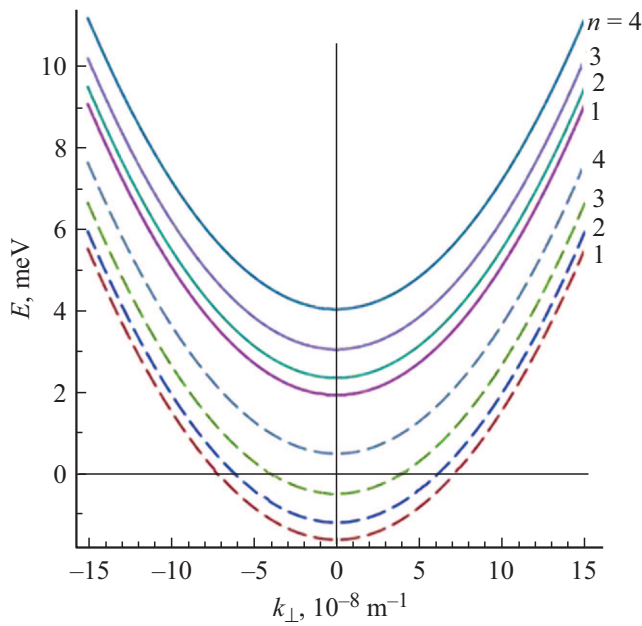
дает соотношение, с помощью которого можно определить энергетическую дисперсию с учетом размерного квантования,

$$\exp \left(2a \sqrt{\chi^2 - 4\kappa_l^2} \right) = \frac{2 - (2\kappa_l/\chi)^2 + 2\sqrt{1 - (2\kappa_l/\chi)^2}}{(2\kappa_l/\chi)^2}. \tag{26}$$

где $\kappa_{A_\xi}^2 = \frac{1}{A_\xi} (U_0 - \tilde{E}_\xi)$, $\kappa_\Delta^2 = \frac{1}{A} \frac{\Delta}{2}$, $\tilde{E} = E - Bk_\perp^2$.

Случай 3. В этом случае считаем, что $P = 0$. Тогда при $U(z) = U_0 = \text{const}$ имеем следующую систему уравнений:

$$\begin{cases} \frac{\partial^2 \psi_1^{(0)}}{\partial z^2} - k_{01}^2 \psi_1^{(0)} = 0, \\ \frac{\partial^2 \psi_3^{(0)}}{\partial z^2} - k_{03}^2 \psi_3^{(0)} = 0. \end{cases} \tag{27}$$



Размерно-квантованный энергетический спектр электронов в n-GaP. Для наблюдения размерно-квантованных уровней двух подзон по отдельности энергетическая щель между ними в численных расчетах, выбрана в 100 раз меньше, т.е. $\Delta = 3.55$ мэВ ширина ямы $a = 55$ нм. Штриховые (сплошные) линии соответствуют подзоне $X_1(X_3)$.

Здесь $k_{0\xi}^2 = (1/A_\xi) [\tilde{E}_\xi - (-1)^{(1+\xi)/2} (\Delta/2) - U_0]$. Решение (23) ищем в виде

$$\psi_\xi^{(0)} = B_\xi e^{ik_{0\xi}z} + D_\xi e^{-ik_{0\xi}z}, \quad (28)$$

где B_ξ, D_ξ — постоянные, определяемые граничными условиями рассматриваемой задачи. Из условия обращения в нуль производной волновых функций на границах интерфейса ямы нетрудно получить $E_\xi(k_\perp, n_\xi, a)$:

$$E_\xi = B_\xi k_\perp^2 + \left(\frac{\pi n_\xi}{a}\right)^2 A_\xi + (-1)^{(1+\xi)/2} \frac{\Delta}{2} + U_0 \quad (n_\xi = 1, 2, 3 \dots) \quad (29)$$

На рисунке представлены размерно-квантованные уровни подзон зоны проводимости n-GaP, рассчитанные на основе (29). При количественных расчетах выбраны следующие параметры [12]:

$$A_{3,1} = \hbar^2 / (2m_{\parallel}^{(3,1)}),$$

$B_{3,1} = \hbar^2 / (2m_{\perp}^{(3,1)}), \quad m_{\perp}^{(1)} = 0.254m_0, \quad m_{\perp}^{(3)} = 0.1m_0$
 $(m_{\parallel}^{(1)} = 0.016m_0, \quad m_{\parallel}^{(3)} = 1.016m_0$ — поперечные (продольные) эффективные массы электронов в подзонах X_1 и X_3 зоны проводимости полупроводника, $\Delta = 355$ мэВ.

Таким образом, мы показали, что размерно-квантованный спектр электронов в полупроводнике, зона проводимости которого состоит из двух подзон с энергетической щелью Δ между ними, представляет собой

набор размерно-квантованных уровней, не пересекающихся между собой из-за наличия энергетической щели (рисунок). Получены выражения для волновых функций и энергетических спектров электронов для различных случаев, при разных соотношениях характеристических волновых векторов, которые, в свою очередь, зависят от зонных параметров полупроводника и от энергетической щели между подзонами зоны проводимости.

В заключение заметим, что эту задачу можно решить методом, где в качестве возмущения можно рассмотреть члены в эффективном гамильтониане, содержащие k_\perp , и разложить в ряд энергетический спектр и волновую функцию электронов по двумерному волновому вектору. Этот случай требует отдельного рассмотрения, чему будет посвящено следующее сообщение.

Благодарности

Один из авторов (РРЯ) выражает благодарность Л.Е. Голубу за просмотр рукописи и ценные замечания.

Конфликт интересов

Авторы заявляют, что у них нет конфликта интересов.

Список литературы

- [1] E.L. Ivchenko. *Optical spectroscopy of semiconductor nanostructures* (Alpha Science, 2005). ISBN: 1-84265-150-1
- [2] Л.Е. Воробьев, Е.Л. Ивченко, Д.А. Фирсов, В.А. Шальгин. *Оптические свойства наноструктур* (С.-Пб., Наука, 2001).
- [3] А.Г. Петров, А. Шик. ФТП, **27**, 1047 (1993).
- [4] A.G. Petrov, A. Shik. Phys.Rev., **48**, 11883 (1993).
- [5] B.G. Livine, S.D. Gunapala, J.M. Kuo, S.S. Pey, S. Hui. Appl. Phys. Lett., **59**, 1964 (1991).
- [6] Y.-C. Chang, R.B. James. Phys. Rev. B, **48**, 12672 (1989).
- [7] В.Я. Алешкин, Ю.А. Романов. ФТП, **27**, 329 (1993).
- [8] А.Г. Петров, А. Шик. ФТП, **28**, 2185 (1994).
- [9] Л.Е. Голуб, Е.Л. Ивченко, Р.Я. Расулов. ФТП, **29**, 1093 (1995).
- [10] Г.Л. Бир, Г.Е. Пикус. *Симметрия и деформационные эффекты в полупроводниках* (М., Наука, 1972).
- [11] Е.Л. Ивченко, Р.Я. Расулов. *Симметрия и реальная зонная структура полупроводников* (Ташкент, Фан, 1989).
- [12] D. Hornung, R. von Baltz, U. Rossler. Solid State Commun., **48**, 225 (1983). [https://doi.org/10.1016/0038-1098\(83\)90275-2](https://doi.org/10.1016/0038-1098(83)90275-2)

Редактор Л.В. Шаронова

Size quantization in n -GaP

*V.R. Rasulov, R.Y. Rasulov, I.M. Eshboltaev,
R.R. Sultonov*

Ferghana State University,
105100 Ferghana, Uzbekistan

Abstract The size-quantized energy spectrum and the wave functions of electrons in the subbands X_3 and X_1 of the conduction band in n -GaP are calculated.